

(19)
(12)

(KR)
(B1)

(51) 。 Int. Cl. 7
B41J 2/435

(45)
(11)
(24)

2003 03 03
10 - 0374276
2003 02 18

(21) 10 - 2000 - 0063766
(22) 2000 10 28

(65)
(43)

2001 - 0051320
2001 06 25

(30) 1999 - 308895 1999 10 29 (JP)
2000 - 325606 2000 10 25 (JP)

(73) 가 가
3 30 2

(72) 3 30 2 가 가

(74)

:

(54)

가 1 , 1 / 가 , , 가
2 , 1 2 , 가
가 , , ,

1a

, , , ,

1a

1b

1

.

2

1

.

3

3

.

4

5

.

5

.

6

.

<

1 :

2 :

3 :

4 :

5 :

7 :

, 1

2

,

,

가

,

/

,

가

가

,

5 .

5 (2), (stop, 3), (4) (1) 1 (L₁) .

(3) (1) (2) , .

(4) .

(5)() (5a) . (5)

f 2 (L₂) (7)() .

(5) (7)() .

06 - 118346 5 ,

(7) .

가 .

10 - 333070 가

1 , 2 가 (2) , 1 .

가 , 가 , .

06 - 118346 , , f , .

가 , .

10 - 333070 () .

가 / 가

1 1 , 1 ,

2 , 1 2 , 3 , 1

가 가 , 2 가 .

2 , 가 .

3 , 2 .

가 4 , 1

5 , 1 .

6 , 2 s()

fcl 500/ s (fcl)(mm) .

7 , 가

8 , 3 , 3 .

9 , .

|d ST_ | |d S _T| |d S_T| |d S_ | ,

|d ST_ | < |d S _T| |d S_T| |d S_ |

,d S _T 가 1 ,d

ST_ 가 2 ,d S_

, 가 3 d S_T ,d S_ .

가 10 , 1nm 0.3mm

11

12

< 1

1a 1 () , 1b 1a
() .

4) 1 (1) (2), (stop)(3) ()
(2) , (5) (1)
(4) (3) (4) ,
(5) (5a) .

(5) , (5b) (1)
2 (6) (5) 1 2 f (6a, 6b) f (7)

(4) 2 f (6a, 6b) (toric)
(R) (4) (1) ,
(5) , () (8)

1 R2 . R1 ,

[1]

1				
		Rs(mm)	d(mm)	N
			23.585	1.00000
	R1	182.212	2.000	1.76203
	R2	- 20.831	13.450	1.00000
	R1()	27.086	3.000	1.49101
	R2()		35.600	1.00000
			10.500	1.00000
1 f	R1()	- 10.000	6.500	1.52420
1 f	R2()	- 22.950	7.120	1.00000
2 f	R1()	110.239	6.600	1.52420
2 f	R2()	- 12.117	103.280	1.00000
	(4) R2	(1)		2

1

$$\Phi(y,z) = (2\pi/\lambda)(c_1z^2 + c_2y^2z^2 + c_3y^4z^2)$$

, c₁ c₃: , = 780nm .

[2]

c ₁	- 5.08566 E - 3
c ₂	0.00000
c ₃	0.00000

, (1) (7)

, 2 . 2

() () .

, 가 가 . (4) f (6a, 6b)

, 가 P Q

(7) (focus deviation)

, (1) 가 가 가 . (8) (8) (1) S (5) (deflective reflection f acet, 5a) R (1)

, (4) f (6a,6b) 가 Q 가 P

, (1)

(2), (4), f (1) (6a,6b) 가 가 .
 가 , P Q .
 , (8) Q .
 P , (8) ,
 , 가 .

50 mm , (4) (± 15nm) fcl = 35.81 mm , Sk_cl = 34.
 (1) , ± 25

0.255 nm/ 가 +25
 +6.375 nm , 가 +25 (4) f (6a,6b)
 -0.00198 , +6.375 nm -0.00014 .

3 (2) (lens barrel) 2가 (resin) , 2.
 (noryl)(PPO) , 5.6 (polysulfone) .
 가 +25 , 19.4μm .

가 6.375 nm , Co1 1 (1) , CL R 1
 (4) , f 1 f (2) , CL DOE 1 (4)
 , CL RN (4) (6) ; 25
 , f N f (6)

, CL R 2 (1) 가 15nm , Co1 2 (2)
 (4) , f 2 f (6) , CL DOE 2 (4)

, (2) (1) (2) (2)
 (1) (2) Co1 2

, (8) (1)가 (1)
 (achromatic) .

[3]

+25		+15nm	
CL R 1()	0.099(mm)	CL R 2	0.233(mm)
CL R N()	1.403		
CL DOE 1()	- 0.226	CL DOE 2	- 0.531
Col 1()	0.170		
Col d()	- 0.451		
f 1(f (6))	0.126	f 2	0.298
f N (f (6))	1.788		
+25	2.910	15nm	0.000

가

(2)
(lens back) Sk_c1=34.50mm

(4)

4

[4]

+25		+15nm	
CL R 1	0.032(mm)	CL R 2	0.076(mm)
CL R N	0.458		
CL DOE 1	- 2.125	CL DOE 2	- 4.999
Col 1	0.170		
Col d	- 0.451		
f 1	0.126	f 2	0.298
f N	1.788		
+25	0.000	15nm	- 4.625

가

가 가

3)

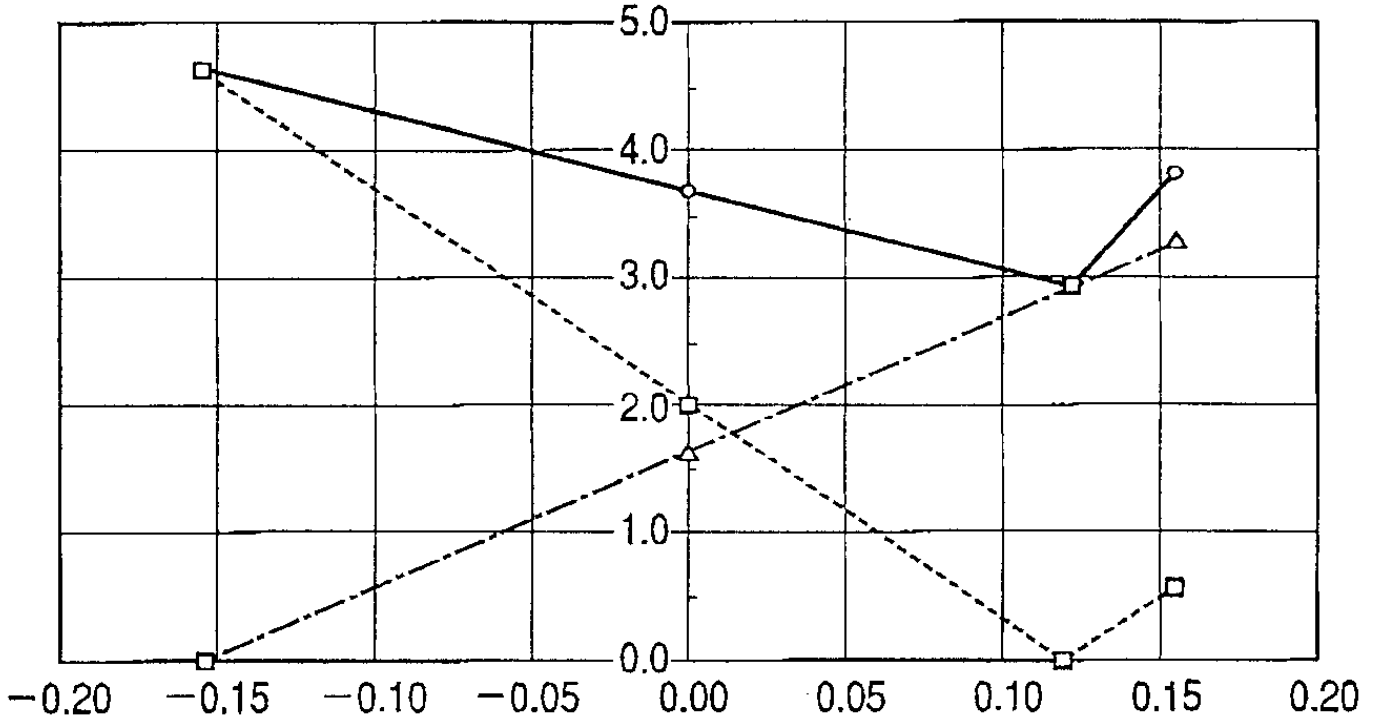
가

(4) 가

(4)

5

부 주사부에서의 초점 이동량 $d\Delta S$ (mm)



주위 온도 변화가 25°C일때 CL의 렌즈 백 변화량 ΔS_{k_cl} (mm)

- △-- 주위 온도 변화 25°C
- 초기 파장 변화 5nm
- 총 초점 이동량

가 25, $S_{k_cl} = -0.16$ mm, 가 +25, $S_{k_cl} = +0.12$ mm, $S_{k_cl} = -0.16$, $S_{k_cl} = +0.12$

가 25

$S_{k_cl} = 0.00$

1 R2, 2 0.01017, R1 1 0.01813, 2/ 1=0.561, $e = d/N$, $= 1/f = 1 + 2$, $= S_{k_cl} - f$, S_{k_cl}

17

C2 C3

(phase polynomial coefficient)

2 (zero)

17

2(2)

2(1) <

1 2(3) <

[5]

	1	1: (1)	2: (2)
R1	27.086	19.307	59.106
DOE C1	- 5.0856 E - 03	- 1.09122 E - 03	- 1.02685 E - 02
d	3.000	3.000	3.000
N	1.491014	1.491014	1.491014
1	0.01813	0.02543	0.00831
2	0.01017	0.00218	0.02054
e	2.012	2.012	2.012
	2.79 E - 02	2.75 E - 02	2.85 E - 02
f	35.806	36.361	35.086
	- 1.306	- 1.861	- 0.586
Sk	34.500	34.500	34.500
Sk	0.00	0.12	- 0.16
	0.561	0.086	2.472

6

3

[6]

1		가 +25		+15nm	
CL R 1	0.071(mm)	CL R 2	0.166(mm)		
CL R N	1.000				
CL DOE 1	- 1.052	CL DOE 2	- 2.476		
Col 1	0.170				
Col d	- 0.451				
F 1	0.126	f 2	0.298		
F N	1.788				
가 +25	1.652	15nm			- 2.012

d S = -2.012mm , 2

(4)가

< 2

2 1

Sk_CL = 34.50mm

가 +25

Sk_CL = + 0.02mm가

$$3 \quad d_{S_T} \quad , \quad 4 \quad 25 \quad (1)$$

$$15nm \quad d_{ST_} \quad , \quad d_{S_} \quad ,$$

$$25 \quad d_{S_T}$$

$$, |d_{S_T}| < |d_{ST_}| \quad , \quad ,$$

$$|d_{S_T}| \quad |d_{ST_}|$$

$$(4) \quad 7$$

[7]

	25.373
C ₁	- 4.42494 E - 3
C ₂	0.00000
C ₃	0.00000

8

[8]

2			
+25		+15nm	
CL R 1	0.075(mm)	CL R 2	0.178(mm)
CL R N	1.068		
CL DOE 1	- 0.916	CL DOE 2	- 2.154
Col 1	0.170		
Col d	- 0.451		
f 1	0.126	f 2	0.298
f N	1.788		
+25	1.861	15nm	- 1.679

$$d_{S_T} = 1.861mm$$

$$d_{S_} = 1.679mm$$

3.540mm

$$f = \frac{1}{1 + \frac{2}{N} - e \cdot \frac{2}{N}} \cdot \frac{1}{Sk} \quad , \quad f = \frac{1}{N} \quad , \quad N$$

$$= Sk - f \quad , \quad Sk$$

$$R1 \quad 1 \quad 0.01935 \quad ,$$

$$2/ \quad 1 = 0.457 \quad . e = d/N \quad , \quad = 1/$$

$$d$$

18

17) < 18 2 (2) , 2 (1) < 2 (

[9]

2	
R1	25.373
DOE C1	- 4.42494 E - 03
d	3.000
N	1.491014
1	0.001935
2	0.00885
e	2.012
	2.79 E - 02
f	35.897
	- 1.398
Sk	34.500
Sk	0.02
	0.457

/ ,

< 3

(4) 3 1 Sk_cl=34.50mm (1) , ± 5 nm (8) .
 (8) +25 (4) Sk_cl = -
 0.10 mm .
 (4) 9 .

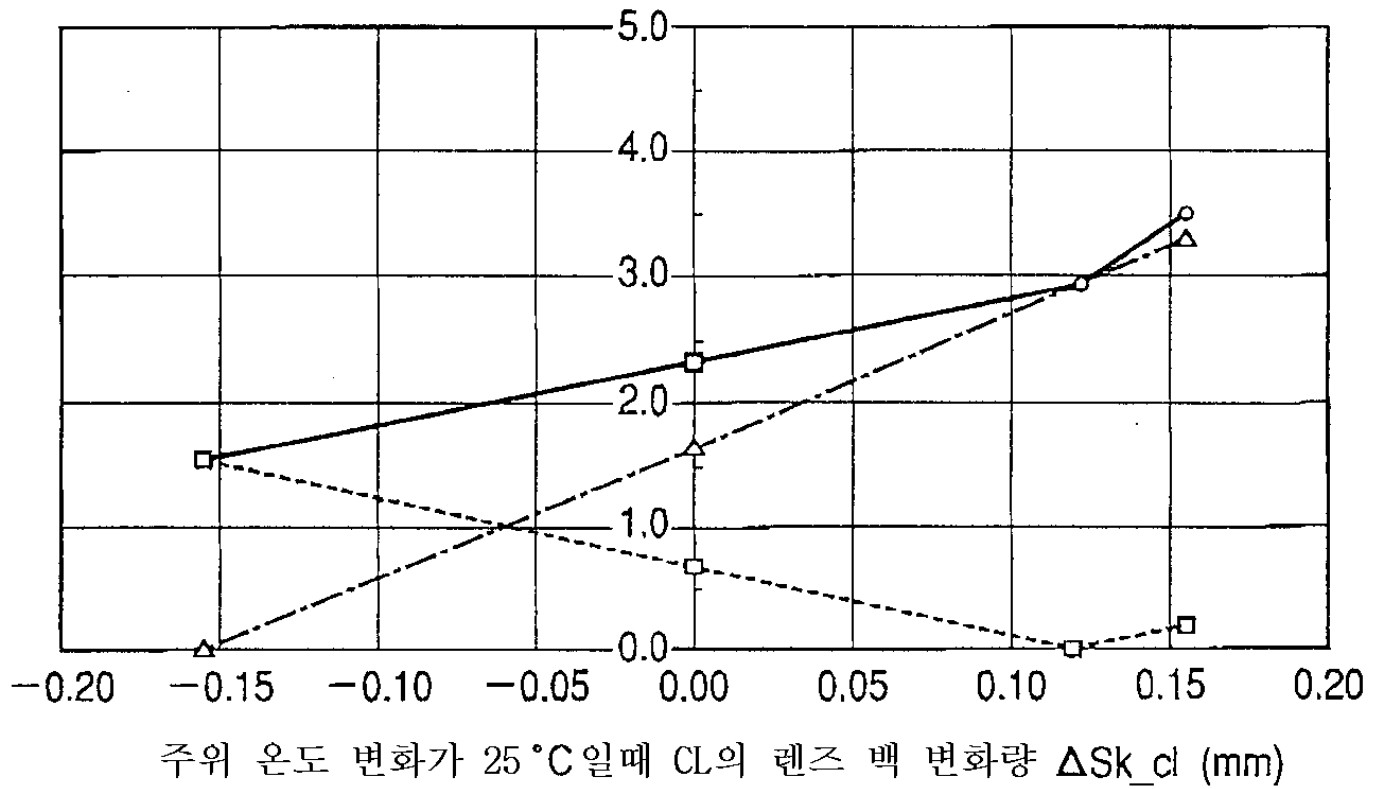
[10]

	41.369
C ₁	- 8.41292 E - 3
C ₂	0.00000
C ₃	0.00000

10 (8)

(7)

부 주사부에서의 초점 이동량 $d\Delta S$ (mm)



- △-- 주위 온도 변화 25°C
- ...□... 초기 파장 변화 5nm
- 총 초점 이동량

(8)가 ($Sk_{cl} = 0.12mm$) 가
 $d S_{-T} = 2.910mm$, (1) 5mm $d S$
 25 ($Sk_{cl} = -0.16mm$)
 $T_{-} = 1.542mm$.
 $R2$ 3 9 , $R1$ 1 0.01187 ,
 f 2 0.01683 , d 2/ 1=1.418 . $e=d/N$, $= 1/f = 1 + 2 - e$
 k , N , $Sk - f S$
 17 19 , 2(1) 3 2(3)
 2(2)

[11]

3	
R1	41.369
DOE C1	- 8.41292 E - 03
d	3.000
N	1.491014
1	0.001187
2	0.001683
e	2.012
	2.83 E - 02
f	35.344
	- 0.844
Sk	34.500
Sk	- 0.10
	1.418

$$|d_{\Delta S_{\lambda}_T}| > |d_{\Delta S_T}_{\lambda}|$$

$$|d_{\Delta S_T}| \leq |d_{\Delta S}_{\lambda}|$$

11

(8)

[12]

3			
+25		+15nm	
CL R 1	0.046(mm)	CL R 2	0.036(mm)
CL R N	0.655		
CL DOE 1	- 1.741	CL DOE 2	- 1.365
Col 1	0.170		
Col d	- 0.451		
f 1	0.126	f 2	0.099
f N	1.788		
+25	0.594	+15nm	- 1.230

$$d_{S_T} = 0.594\text{mm} \quad (1)$$

$$d_{S_{\lambda}} = - 1.230\text{mm} \quad , \text{ 2가}$$

$$(1) \quad T_0 = 25 \quad \lambda_0 = 780\text{nm} \quad T = +25 \quad \lambda = - 5\text{nm} \quad T = 50 \quad \lambda = 775\text{nm} \quad (1)$$

3 3

(5) 3 (9) (10) (9) (9)

< 4

4 1 (4) Sk_cl=20.00mm

1 , +25

Sk_cl=0.00

12

[13]

	16.211(mm)
C ₁	- 8.87256 E - 6
C ₂	0.00000
C ₃	0.00000

$$R2 = \frac{2 + e \cdot 1 \cdot 2}{f} = \frac{2 + 2.012 \cdot 1 \cdot 2}{21.298} = 0.01775$$

$$R1 = \frac{1}{f} = \frac{1}{21.298} = 0.03029$$

$$N = \frac{d}{e} = \frac{3.000}{2.012} = 1.491014$$

$$f = \frac{1}{R1} = 21.298$$

$$e = \frac{d}{N} = 2.012$$

$$d = 3.000$$

$$Sk = 20.000$$

$$Sk = -0.00$$

$$0.586$$

[14]

4	
R1	16.211
DOE C1	- 8.87256 E - 03
d	3.000
N	1.491014
1	0.03029
2	0.01775
e	2.012
	4.7 E - 02
f	21.298
	- 1.298
Sk	20.000
Sk	- 0.00
	0.586

[15]

4			
+25		+15nm	
CL R 1	0.041(mm)	CL R 2	0.095(mm)
CL R N	0.574		
CL DOE 1	- 0.627	CL DOE 2	- 1.475
COI 1	0.056		
Col d	- 0.158		
f 1	0.126	f 2	0.298
f N	1.788		
+25	1.808	+15nm	- 1.082

fcl = 21.30mm fcl = 35.81mm

s = 11.04

가 fcl (6) s

2 fcl ≤ 500/a s

< 5

4 5

(4) 2 f (6a, 6b) (4)

(8) (6b) (5)

14 2 f (6b) 15

[16]

5			
	Rs(mm)	d(mm)	N
		23.585	1.00000
R1	182.212	2.000	1.76203
R2	- 20.831	13.450	1.00000
R1()	- 19.117	3.000	1.52420
R1()		35.600	1.00000
		10.500	1.00000
1 f R1()	- 10.000	6.500	1.52420
1 f R1()	- 22.950	7.120	1.00000
2 f R2()		6.600	1.52420
2 f R2()	- 14.300	103.280	1.00000

[17]

C ₁	- 6.75000 E - 3
C ₂	0.00000
C ₃	0.00000

(8) 2 , 1 (8) .
 , (8) 가 ,
 , 1 가 .
 f , f DOE .

(103) (Di) (103)
 (101) (101) (107) (103)
 (107) (101) (101) (108)
 가 (112) (112) (101) (, 6)
 (109) (109) (112) (110)
 (109)
 (112) (101) (, 6)
 () (113)
 (113) (112) 가 (114)
 (113) (113) (114)가 (113) (nip part) (112) (112)
 (116)가 (112)
 6 (111) (polygon motor)
 115) ()
 가
 / , 가
 , 2 , 1 ,
 ,
 가 2
 ,

(57)
 1.
 , 1 , 1 2
 , 1 2 , 1
 1 2 3 , 1

가 가 , 2

가 가 .

2.

1 , .

3.

2 , 1 .

4.

3 , 1 가 가 .

5.

4 , 1 , .

6.

5 , 2 (longitudinal magnification) s()

, fcl(mm) ,

fcl 500/ s

7.

6 , .

8.

7 , 3

1

9.

1 , d S _T 가 1 ,
 ; d ST_ 가 2 ,
 , d S_T , d S_ 가
 3 , ,

| d ST_ | | d S _T | , | d S_T | | d S_ |
 | d ST_ | < | d S _T | , | d S_T | | d S _T |

10.

1 , 가 1nm 0.3mm 가

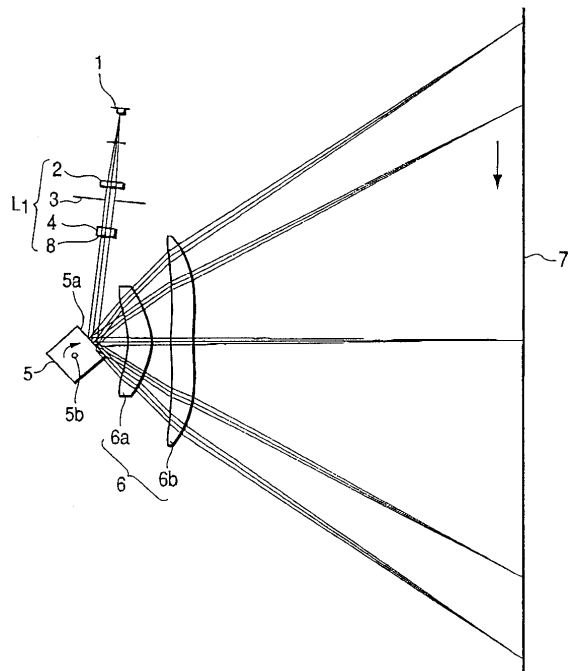
11.

1 10 ,

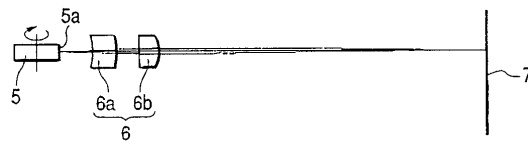
12.

1 10 ,

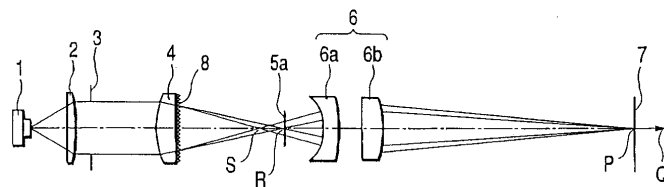
1a



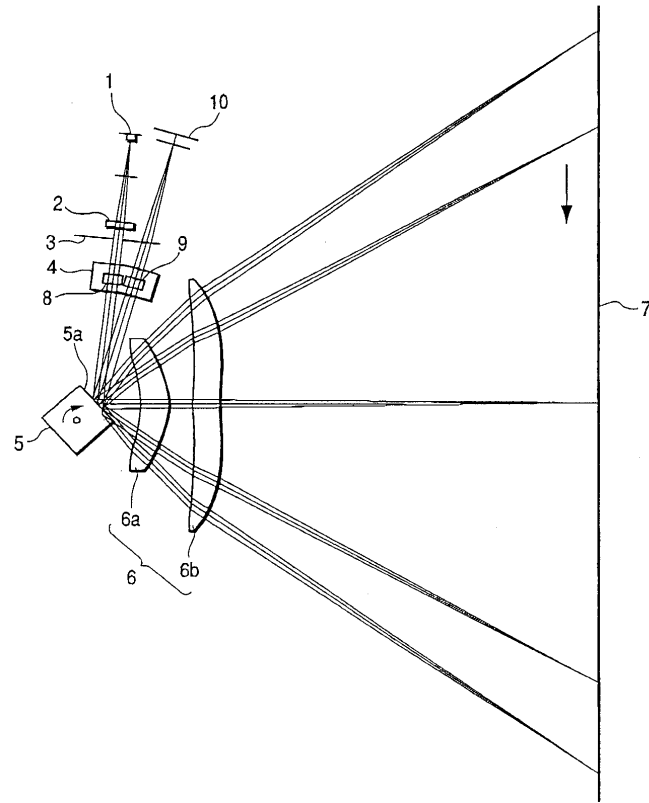
1b



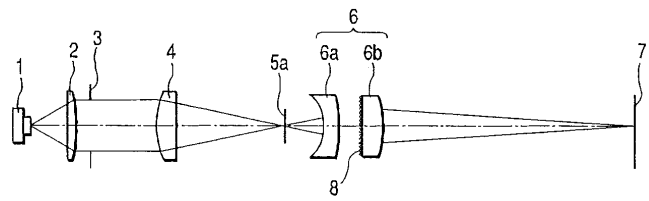
2



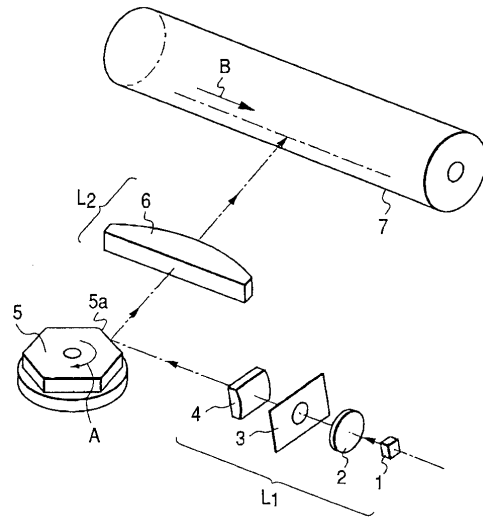
3



4



5



6

